

COUPLAGE SURFACE-ATMOSPHÈRE : CAS D'ETUDE 1D POUR SON ÉVALUATION DANS CNRM-CM6-1

Emilie Bernard¹, Romain Roehrig¹, Bertrand Decharme¹, Fleur Couvreur¹, Fabienne Lohou², Marie Lothon²

¹ Centre National de Recherches Météorologiques, Toulouse

² Laboratoire d'aérodologie, Observatoire Midi-Pyrénées, Toulouse

Introduction

Les interactions entre la surface et l'atmosphère sont nombreuses et déterminantes pour le climat terrestre (Figure 1).

Importance de la représentation du **couplage surface-atmosphère** pour la prévision numérique du temps et les études climatiques

Quelle représentation du couplage surface-atmosphère dans les modèles climatiques ?

Il existe peu de cas 1D couplés surface-atmosphère homogènes pour l'évaluation du couplage terre-atmosphère. Cette étude vise à pallier ce manque.

I - Exploitation de la campagne BLLAST

Campagne de mesure
BLLAST
14 Juin au 8 Juillet 2011

Quatre types de couverts : prairie, champ de blé, champ de maïs, forêt de pins.

Observations :

- Vent méridien, zonal, vertical
- Composantes du bilan radiatif
- Flux de chaleur sensible, latent et dans le sol
- Température et humidité de l'air et du sol

Correction des flux de surface observés

Bilan d'énergie

Modèle : $R_n - (H + LE + G) = 0$

Observations : $R_n - (H + LE + G) < 0$

Le résidu du bilan d'énergie observé est de l'ordre de 30% de l'énergie disponible ($R_n - G$) pour l'ensemble des couverts (Figure 2). Nous appliquons la **méthode de conservation du rapport de Bowen** pour obtenir la fermeture du bilan d'énergie observé. Cette méthode corrige le flux de chaleur latent et sensible.

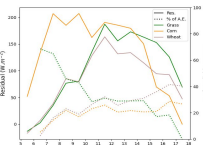


Figure 2 : Résidu du bilan d'énergie observé

Method of conservation of energy ratio Bowen (Pastorello et al., 2011)

$$\text{Rapport de Bowen : } B = \frac{H}{LE}$$

$$LE_{\text{corr}} = LE + \text{residual} \times \frac{LE}{H + LE}$$

$$H_{\text{corr}} = H + \text{residual} \times \frac{H}{H + LE}$$

II - Configuration de simulation

ARPEGE-SURFEX 1D

(Configuration Arpege-Climat CIMP6)

Méso-NH-SURFEX 3D

Simulation d'évaluation des composantes atmosphériques du couplage surface-atmosphère d'ARPEGE

Setup :

- Surface : ECOCLIMAP-II
- Profil initial idéalisé issu du radiosondage BLLAST de 5 UTC
- Ajustement de l'initialisation du sol à partir d'observations

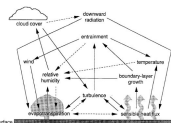


Figure 1 : Schéma des principales interactions de la couche limite atmosphérique avec les conditions de la surface terrestre (Eli et Mahrt, 1994)

III - Couplage surface-atmosphère

Focus sur le couvert prairie - Le 20 juin 2011

Golden day de la campagne : Journée de ciel clair avec peu de vent

1 Bilan radiatif modélisé proche des observations (Figure 3)

Rayonnement courte longueur d'onde descendant (SWD) modèle > observé en début de journée

SWD Méso-NH > SWD ARPEGE

2 Absorption atmosphérique légèrement différente, à considérer pour la comparaison ARPEGE/Méso-NH

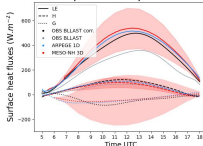


Figure 4 : Flux de chaleur latent, sensible et dans le sol simulés avec ARPEGE 1D, Meso-NH 3D et comparé aux observations. L'enveloppe rouge représente 95% des valeurs de la simulation Meso-NH.

3 Hauteur de couche de limite atmosphérique bien reproduite par ARPEGE (Figure 5).

Température dans la couche de mélange très proches de la moyenne spatiale Méso-NH. Ecart croissant en s'éloignant de l'état initial.

Manque de mélange lié à un schéma convectif pas suffisamment actif.

Impact des différences de rayonnement et de flux majeurs sur la fin de journée (cumul)

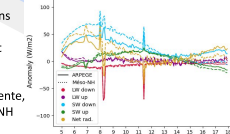


Figure 3 : Anomalie modèle/observation pour les différentes composantes du bilan radiatif

Flux de chaleur corrigés très proches des flux simulés (Figure 4).

Bonne performance ARPEGE et moyenne spatiale Méso-NH.

Surestimation du flux de chaleur latent le matin et une sous-estimation du flux de chaleur sensible l'après-midi.

En lien avec différences de SWD

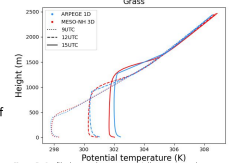


Figure 5 : Profil de température potentielle pour 3 pas de temps avec les configurations ARPEGE-SURFEX et Méso-NH-SURFEX

VI - Impact des propriétés de surface sur l'atmosphère

- Impact important du changement de type de végétation et donc de stress hydrique de la plante sur l'état de la **couche de mélange** au dessus des couverts : assèchement et réchauffement.

- Modification de l'indice foliaire assèche et augmente également la température, majoritairement en fin de journée.

- Effet moindre du changement de propriétés radiatives, de longueur de rugosité et d'initialisation de température et d'humidité de sol.

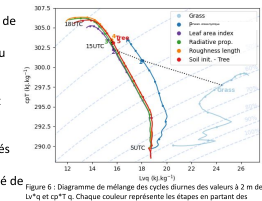


Figure 6 : Diagramme de mélange des cycles diurnes des valeurs à 2 m de L₀ et op₀-t. Chaque couleur représente les étapes en partant des conditions au dessus de la prairie vers la forêt, pas à pas. La paramétrisation de stress hydrique de la plante, l'abscisse, l'initialisation du sol (température et profondeurs) et la longueur de la rugosité.

Conclusion

- Les observations de la campagne BLLAST permettent d'évaluer le couplage surface-atmosphère de plusieurs couverts homogènes

- Validation de la méthodologie de création de cas homogènes

- Le modèle ARPEGE en configuration CIMP6 reproduit de façon satisfaisante le couplage surface-atmosphère en conditions homogènes

Références

Bernard, E., Roehrig, R., Decharme, B., Couvreur, F., ... (2024). Setup of four homogeneous study cases from the BLLAST campaign for ARPEGE-SURFEX land-atmosphere coupling evaluation [Article in preparation]

Ek, M., & Mahrt, L. (1994). Canflow evaluation of relative humidity at the boundary layer top. *Monthly Weather Review*, 122(12), 2709-2721.

Pastorello, G., Trotta, C., Danfonia, E., Chu, H., Christianson, D., Cheah, Y. W., ... & Law, B. (2020). The FLUXNET2015 dataset and the ONEFlux processing pipeline for eddy covariance data. *Scientific data*, 7(1), 225.